

УДК 537.32

DOI: 10.15587/2313-8416.2015.35891

**ТЕРМОЭЛЕКТРИЧЕСКИЕ ЯВЛЕНИЯ И УСТРОЙСТВА В КОНЦЕПЦИИ ЛАНДАУЭРА-ДАТТЫ-ЛУНДСТРОМА**

© Ю. А. Кругляк

*С позиций концепции «снизу – вверх» транспортной модели Ландауэра-Датты-Лундстрома современной нанoeлектроники рассматриваются термоэлектрические явления Зеебека и Пельтье и качественно обсуждаются закон Видемана-Франца, числа Лоренца и основные уравнения термоэлектричества с четырьмя транспортными коэффициентами – удельное сопротивление, коэффициенты Зеебека и Пельтье и электронная теплопроводность*

**Ключевые слова:** нанofизика, нанoeлектроника, молекулярная электроника, термоэлектрические явления, термоэлектрические устройства, эффект Зеебека, эффект Пельтье, числа Лоренца, закон Видемана-Франца, термоэлектрические коэффициенты

*On the basis of the «bottom-up» approach of Landauer-Datta-Lundstrom transport model of modern nanoelectronics the thermoelectric Seebeck and Peltier phenomena are considered, the Wiedemann – Franz law and Lorentz numbers as well as the four transport coefficients – specific resistivity, Seebeck and Peltier coefficients, and electronic thermal conductivity are qualitatively discussed.*

**Keywords:** nanophysics, nanoelectronics, molecular electronics, thermoelectric effects, thermoelectric devices, Seebeck effect, Peltier effect, Lorentz numbers, Wiedemann-Franz law, thermoelectric coefficients

**1. Введение и литературный обзор**

Обобщенная транспортная модель Ландауэра-Датты-Лундстрома (ЛДЛ) для задач нанoeлектроники, впрочем, в равной мере пригодная также и для моделирования устройств микро- и макроэлектроники, изложена в [1, 2] для случая, когда температура контактов резистора одинакова. Теперь рассмотрим термоэлектрические (ТЭ) эффекты в модели ЛДЛ. Термоэлектрические устройства конвертируют тепло в электрический ток или же ток используется для нагревания/охлаждения [3–8].

При рассмотрении транспорта в массивных проводниках [1] для плотности тока вдоль длинной оси проводника  $x$  получено выражение через градиент электрохимического потенциала  $E_F$  с удельной проводимостью  $\sigma$  в роли коэффициента пропорциональности:

$$J_x = \sigma \frac{d(E_F / q)}{dx}, [A/m^2]. \tag{1}$$

Перепишем это выражение через удельное сопротивление  $\rho$ :

$$\frac{d(E_F / q)}{dx} = \rho J_x, \tag{2}$$

а для однородных проводников

$$\frac{d(E_F / q)}{dx} = E_x, \tag{3}$$

где  $E_x$  – электрическое поле.

Далее будем рассматривать диффузионный транспорт в массивных 3D проводниках. Аналогичным образом можно рассматривать 1D и 2D проводники. Позже рассмотрим транспорт в баллистическом и квази-баллистическом режимах.

Как нужно изменить выписанные выше уравнения с учетом температурного градиента? Мы увидим ниже, что ответ на этот вопрос можно записать следующим образом:

$$J_x = \sigma \frac{d(E_F / q)}{dx} - S \sigma \frac{dT}{dx}, \tag{4}$$

$$\frac{d(E_F / q)}{dx} = \rho J_x + S \frac{dT}{dx}, \tag{5}$$

где  $S$  – коэффициент Зеебека в [B/K].

Термоэлектричество сочетает потоки электронов и тепла. Таким образом, в дополнение к уравнению для потока электронов нужно иметь уравнение для потока тепла. Поскольку тепло распространяется против градиента температуры, то для потока тепла можно ожидать пропорциональности вида

$$J_{Qx} = -\kappa \frac{dT}{dx}, [Bm/m^2]. \tag{6}$$

Как изменится это уравнение в присутствии электрического тока? Ответ таков:

$$J_{Qx} = T S \sigma \frac{d(E_F / q)}{dx} - \kappa_0 \frac{dT}{dx}, \tag{7}$$

$$J_{Qx} = \pi J_x - \kappa \frac{dT}{dx}, \quad (8)$$

где коэффициент Пельтье

$$\pi = TS, [Bm/A] \quad (9)$$

и

$$\kappa = \kappa_0 - S^2 \sigma T [Bm/M \cdot K] \quad (10)$$

есть электронная теплопроводность в условиях незамкнутой электрической цепи, а  $\kappa_0$  – в условиях короткозамкнутой цепи. И в том и в другом случае речь идет о переносе тепла только электронами.

Рассмотрим эффекты Зеебека и Пельтье подробнее.

### 2. Эффект Зеебека

Если температура контактов проводника разная, возникает поток электронов от более нагретого контакта к менее нагретому (эффект Зеебека) и генерируется напряжение Зеебека  $V_{oc}$ , измерить которое можно прилагая к концам незамкнутой ос (open circuit) цепи напряжение противоположной полярности до прекращения тока (рис. 1).

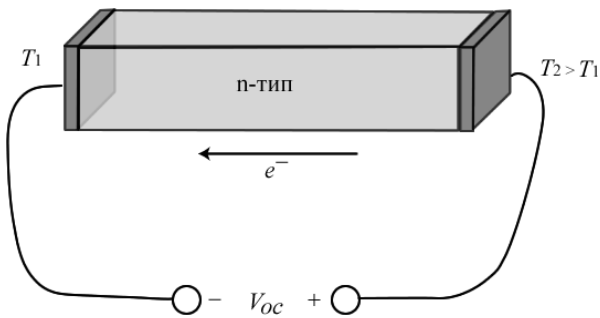


Рис. 1. При разной температуре контактов электроны движутся в направлении от более нагретого контакта к менее нагретому

Эффект Зеебека физически корректно рассматривать с учетом поведения фермиевских функций [1] при разных температурах (рис. 2).

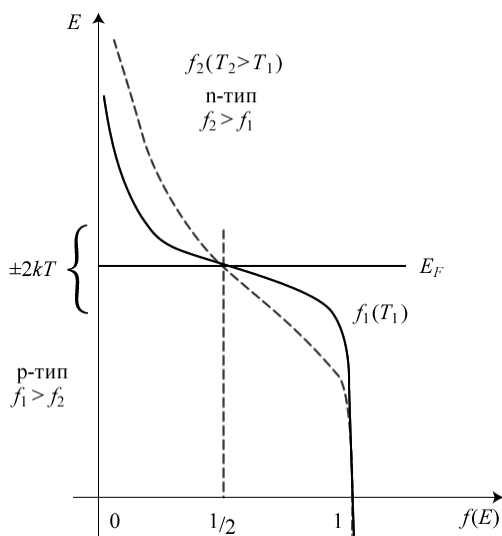


Рис. 2. Качественный ход двух фермиевских функций с разными температурами

Фермиевское окно проводимости составляет  $\sim \pm 2 kT$ , охватывающем значение  $E = E_F$  [1]. Чем выше температура, тем доступнее окно проводимости. Ток зависит от разности фермиевских функций  $f_1 - f_2$  [1]. Если рассматривается проводник  $n$ -типа, то электронные состояния, обеспечивающие ток, находятся в зоне проводимости выше уровня Ферми, где  $f_2 > f_1$ , а в проводнике  $p$ -типа ток обеспечивают «дырочные» состояния, лежащие ниже уровня Ферми в валентной зоне, где  $f_1 > f_2$  (рис. 2). В первом случае для прекращения тока ( $f_1 = f_2$ ) на контакт 2 нужно подать положительный потенциал, а во втором случае – отрицательный. В соответствии с этим напряжение Зеебека положительное для проводников  $n$ -типа и отрицательное для проводников  $p$ -типа. Этим пользуются для определения типа проводимости резистора.

Теперь рассмотрим что же контролирует саму величину напряжения Зеебека. Рассмотрим  $n$ -проводник в состоянии равновесия, когда  $E_{F1} = E_{F2}$  и  $T_1 = T_2$ . Для любого состояния проводника вероятность  $f_1$  быть заселенным со стороны контакта 1 такая же как и вероятность  $f_2$  быть заселенным со стороны контакта 2:  $f_1 = f_2$ . Тока нет.

На рис. 3 показан проводник с подачей положительного потенциала на его контакт 2, что приводит к понижению электрохимического потенциала  $E_{F2} = E_{F1} - qV$ .

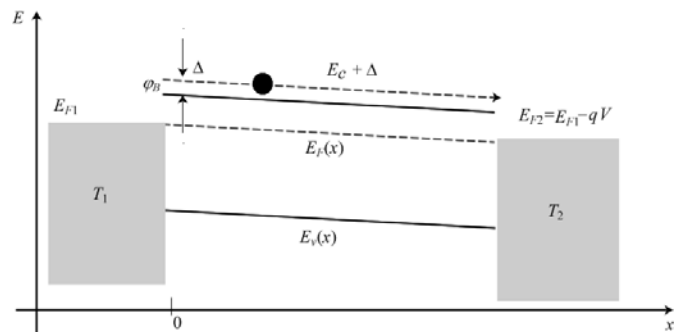


Рис. 3. Энергетическая диаграмма проводника  $n$ -типа при подаче разности потенциалов  $V_2 > V_1$ ; разность температур контактов может или иметь место или быть равной нулю

Пусть вначале температура контактов одинакова ( $T_1 = T_2$ ). Теперь для любого состояния ( $E, x$ ) проводника  $f_1 > f_2$  и электроны потекут слева направо, что соответствует току в направлении отрицательной полуоси  $x$ . Рассмотрим ситуацию когда и потенциал и температура контакта 2 больше чем для контакта 1:  $V_2 > V_1, T_2 > T_1$ . Тот факт, что  $T_2 > T_1$  вынуждает электроны перетекать с контакта 2 на контакт 1, а больший потенциал на контакте 2 по сравнению с контактом 1 вынуждает электроны двигаться в противоположном направлении. В условиях незамкнутой цепи обе тенденции уравниваются друг друга и ток равен нулю.

Пусть  $T_2 > T_1$ , а к контакту 2 приложен такой потенциал, что ток равен нулю (рис. 3). Электроны движутся с энергией, лежащей чуть выше (на величину  $\Delta$ ) дна зоны проводимости. В некоторой промежуточной точке проводника (на бесконечно малом отрезке  $dx$ ) энергия есть  $E_c(0) + \Delta$ . Численное значение

$\Delta$  зависит от зонной структуры проводника и физики его рассеивающих центров, для невырожденных же проводников  $\Delta \approx 2kT$ . Ток через эту точку не идет, поскольку состояние в этой промежуточной точке характеризуется равенством  $f_1=f_2$ . В условиях незамкнутой цепи

$$f_1 [E_c(0)+\Delta]=f_2 [E_c(0)+\Delta] \quad (11)$$

или в развернутом виде

$$\frac{1}{\exp\left[\frac{(E_c(0)+\Delta-E_{F1})}{kT}\right]+1} = \frac{1}{\exp\left[\frac{(E_c(0)+\Delta-E_{F1}+q\delta V)}{kT}\right]+1} \quad (12)$$

где учтено то обстоятельство, что на бесконечно малом отрезке  $dx$   $E_{F2} = E_{F1} - q\delta V$  (рис. 3). Из равенства показателей экспонент непосредственно следует, что

$$\begin{aligned} \delta V &= -S\delta T \\ c \delta T &= T_1 - T_2 \end{aligned} \quad (13)$$

и

$$S = -\frac{E_c(0)+\Delta-E_{F1}}{qT_1} \equiv -\frac{E_{av}-E_{F1}}{qT_1}, \quad (14)$$

где  $E_c(0)+\Delta \equiv E_{av}$  есть среднее значение энергии, при которой движутся электроны. Коэффициент Зеебека пропорционален разности между этой средней энергией и фермиевской энергией на левом контакте  $E_{F1}$ . По договоренности, для  $n$ -проводников коэффициент Зеебека отрицательный. Перепишем ур-е (14) следующим образом:

$$S(T) = -\frac{k}{q} \left( \frac{E_c - E_F}{kT} + \delta \right), \quad (15)$$

где  $\delta = \Delta/kT$ , а фундаментальная константа  $k/q=86$  мкВ/К. Для невырожденных 3D проводников безразмерный параметр  $\delta \approx 2$ , а для сильно вырожденных

$$\delta \rightarrow \frac{E_F - E_C}{kT}, \quad (16)$$

что в пределе по мере удаления фермиевской энергии от дна зоны проводимости ведет к занулению коэффициента Зеебека (рис. 4).

Коэффициент Зеебека (с учетом знака) тем больше, чем глубже находится уровень Ферми относительно зоны проводимости (слабо легированные  $n$ -полупроводники). При нахождении уровня Ферми на дне зоны проводимости коэффициент Зеебека  $\approx 2 \cdot 86$  мкВ/К. Чем выше поднимается уровень Ферми относительно дна зоны проводимости, тем меньше коэффициент Зеебека (низкие значения коэффициента Зеебека у металлов).

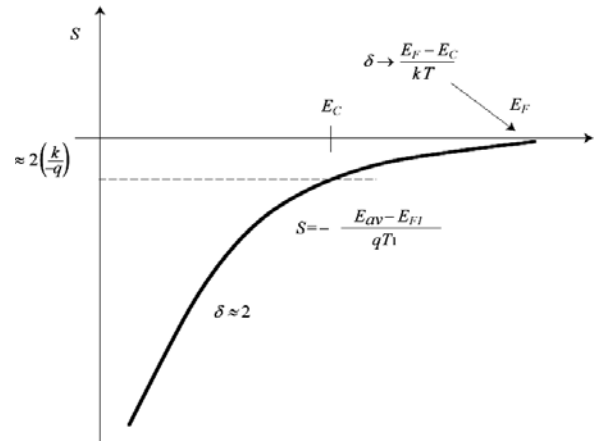


Рис. 4. Поведение коэффициента Зеебека в зависимости от положения уровня Ферми  $E_F$  относительно дна зоны проводимости  $E_C$

Подставим (15) в (13) и просуммируем по всей длине проводника, в результате чего получим перепад напряжения на концах проводника

$$\Delta V = -\int_{T_1}^{T_2} S(T)dT, (J_x = 0). \quad (17)$$

Приведенные рассуждения показывают происхождение второго слагаемого в уравнении (5).

### 3. Эффект Пельтье

Охлаждение и нагревание за счет эффекта Пельтье при прохождении тока по проводнику, поддерживаемому в изотермических условиях ( $T_1=T_2$ ) иллюстрируется на рис. 5.

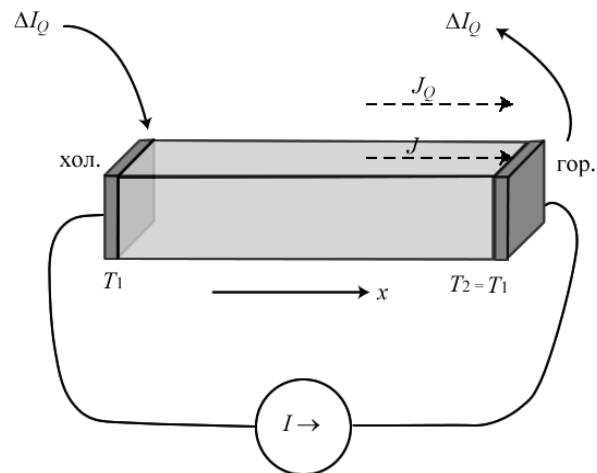


Рис. 5. Прохождение тока по проводнику в изотермических условиях сопровождается охлаждением одного контакта и нагреванием другого (эффект Пельтье)

В соответствии с выбранным направлением тока электроны начинают движение с небольшой дрейфовой скоростью слева направо. По ходу движения электроны рассеиваются на фононах, приобретая при этом намного большую тепловую скорость. В результате поток электронов сопровождается потоком тепла (эффект Пельтье): правый контакт отдает тепло, а левый контакт поглощает тепло. Если направление тока изменить на противоположное, то

миссии контактов поменяются местами. Для оценки теплового потока обратимся к рис. 6.

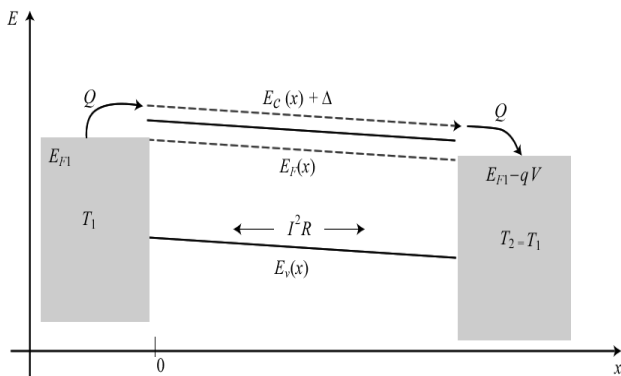


Рис. 6. Энергетическая диаграмма слабо допированного полупроводника n-типа

Металлические контакты сильно вырождены, так что фермиевское окно проводимости  $-(\partial f_0 / \partial E)$  [1] представляет собой фактически  $\delta$ -функцию при  $E=E_F$ . В металлических контактах ток течет очень близко к фермиевской энергии. В слабо допированном полупроводнике ток течет чуть выше дна зоны проводимости при  $E_{av}=E_C(0)+\Delta$ . На границе металл/полупроводник энергия с фермиевского уровня возрастает до этого среднего значения  $E_{av}$  с поглощением тепла  $Q=E_C(0)+\Delta-E_{F1}$ . Эта тепловая энергия берется из решетки металлического контакта 1 (фононы). На противоположном контакте происходит обратное: тепло  $Q=E_C(L)+\Delta-E_{F2}$  диссипируется металлическим контактом 2, где  $L$  – длина проводника. Мы все это время рассматриваем массивный 3D проводник в диффузионном режиме. При прохождении тока по резистору выделяется также джоулево тепло  $I^2R$ , пропорциональное квадрату тока. Тепло Пельтье пропорционально первой степени тока. В случае сильно допированного полупроводника можно ожидать намного меньшего охлаждения/нагрева контактов за счет эффекта Пельтье, поскольку средняя энергия  $E_{av}$  за счет меньшего потенциала барьера  $\phi_B$  (рис. 3) лежит намного ближе к фермиевской энергии по сравнению со слабо допированным полупроводником.

Рассмотрим подробнее область вблизи левого контакта 1 (рис. 7).

Электроны с энергией большей, чем высота барьера  $\phi_B$  (рис. 3) термически эмитируются из металла в полупроводник. Металл покидают высокоэнергетические электроны (рис. 7: серый овал), нарушая при этом равновесное фермиевское распределение. Процесс перехода сопровождается электрон-фононным рассеянием с поглощением тепла проводником и охлаждением контакта. Энергия поглощается из решетки металлического контакта, поднимая энергию низкоэнергетических электронов выше и восстанавливая равновесное фермиевское распределение. Этот процесс напоминает испарение жидкости, в котором роль жидкости играют электроны в металле.

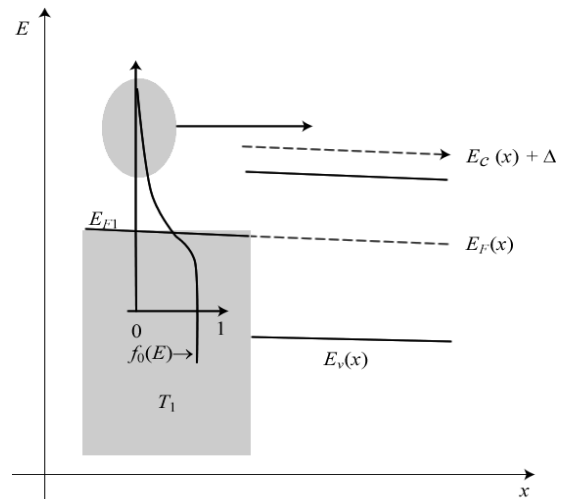


Рис. 7. К механизму поглощения тепла на левом контакте 1

Вычислим поток тепла, сопровождающий поток электронов. Поток электронов в направлении положительной полуоси  $x$  есть  $J_x/(-q)>0$ , поскольку  $J_x<0$ . Каждый электрон, переходящий из контакта 1 в проводник, переносит тепловую энергию в количестве  $Q=E_C(0)+\Delta-E_{F1}$ . Таким образом, поток тепла будет

$$J_{Ql}=[E_C(0)+\Delta-E_{F1}] \times J_x/(-q) = \pi J_x, \quad (18)$$

где коэффициент Пельтье

$$\pi = -[E_C(0)+\Delta-E_{F1}]/q. \quad (19)$$

Коэффициент Пельтье отрицательный для  $n$ -проводников. Сравнивая (19) и (14), получаем

$$\pi = T_l S. \quad (20)$$

Аналогичное выражение получается для контакта 2 с заменой  $T_1$  на  $T_2$ . Эта связь двух тепловых коэффициентов – Зеебека и Пельтье (9) известна как соотношение Кельвина.

Мы получили первое слагаемое в уравнении (8). Во втором слагаемом фигурирует электронная теплопроводность в условиях незамкнутой электрической цепи  $\kappa$ . Выражение для нее получим позже. Сейчас же уместно предположить, что электронная теплопроводность  $\kappa$  и удельная электронная проводимость  $\sigma$  связаны между собой, поскольку поток электронов сопровождается потоком тепла. Мы позже получим следующее соотношение между ними:

$$\frac{\kappa}{\sigma} = LT, \quad (21)$$

где  $L$  называют числом Лоренца, а соотношение (21) – законом Видемана-Франца [9]. Они не столь фундаментальны как соотношение Кельвина (9), поскольку зависят от особенностей зонной структуры и характера рассеяния в конкретном проводнике [10]. Для типичного полупроводника с параболической дисперсией и с постоянным средним значением длины свободного пробега в случае невырожденного проводника и соответственно вырожденного

$$L \approx 2 \times \left(\frac{k}{q}\right)^2, \tag{22}$$

$$L \approx \frac{\pi^2}{3} \times \left(\frac{k}{q}\right)^2.$$

Термин «закон Видемана – Франца» обычно подразумевает формулу (21) с числами Лоренца (22). У проводников меньшей размерности числа Лоренца совсем не похожи на (22). Общее выражение для  $L$  получим позже.

Итак, основными уравнениями ТЭ служат уравнения (5), (8) и (9) с четырьмя транспортными коэффициентами:

- 1) удельное сопротивление  $\rho=1/\sigma$ ;
- 2) коэффициент Зеебека  $S$ ;
- 3) коэффициент Пельтье  $\pi$ ;
- 4) электронная теплопроводность  $\kappa$ .

Электрическая проводимость  $\sigma$  подробно обсуждалась ранее [2]. Для 3D массивного проводника в диффузионном режиме для удельной и дифференциальной проводимости  $\sigma'$  имеем:

$$\sigma = \int \sigma'(E)dE = \frac{2q^2}{h} \langle M_{3D} \rangle \langle \lambda \rangle, \tag{23}$$

$$\sigma'(E) = \frac{2q^2}{h} M_{3D}(E) \lambda(E) \left( -\frac{\partial f_0}{\partial E} \right), [1/Ом \cdot м \cdot Джс], \tag{24}$$

где  $M_{3D}(E)$  – число мод проводимости при энергии  $E$  на единицу площади поперечного сечения проводника.

Коэффициент Зеебека дается уравнением (15) с безразмерным параметром

$$\delta = (E_{av} - E_C) / kT, \tag{25}$$

определяющим среднюю энергию, с которой электрон движется по проводнику, относительно дна зоны проводимости. Поскольку дифференциальная проводимость определяет распределение тока по энергии, то

$$\delta = \frac{1}{kT} \left( \frac{\int (E - E_C) \sigma'(E) dE}{\int \sigma'(E) dE} \right). \tag{26}$$

Мы также знаем, что коэффициент Пельтье связан с коэффициентом Зеебека соотношением Кельвина

$$\pi(T) = TS(T). \tag{27}$$

Уравнения (5) и (8) являются частным случаем более общих уравнений связанных потоков [11]. В нашем случае температурный градиент порождает электрический ток, а он в свою очередь порождает поток тепла. Перекрестные коэффициенты  $S$  и  $\pi$  фундаментально связаны друг с другом соотношением Кельвина, которое является частным случаем более общих соотношений Онзагера [12].

Мы также имеем уравнение для электронной теплопроводности

$$\kappa = L\sigma T, \tag{28}$$

которое учитывает перенос тепла только электронами. В металлах большую часть тепла переносят электроны, а в полупроводниках – фононы, к рассмотрению которых в транспортной модели ЛДЛ мы вернемся в другой публикации.

#### 4. Термоэлектрические устройства

Пионерские теоретические и прикладные исследования А.Ф.Иоффе в 50-60 годы в Ленинграде [3] сыграли решающую роль в развитии физики ТЭ явлений. С конца 60-х годов начала формироваться научная школа в области ТЭ в Черновицком университете, возглавляемая Л.И.Анатычуком [4–8, 13]. Последние 30 лет характеризуются неуклонным прогрессом в области физики ТЭ явлений и ее многочисленных приложений – от переносных холодильников для пикника до генераторов тока для дальних космических аппаратов. В последние годы надежды на улучшение показателей эффективности работы ТЭ устройств и показателей качества термиков возлагают на наноструктурированные материалы [14–16]. Так это или не так покажут только экспериментальные исследования.

Принципиальная схема ТЭ охладителя показана на рис. 8.

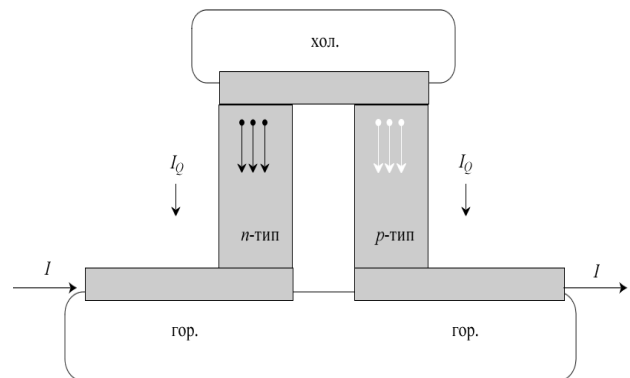


Рис. 8. Схема ТЭ охладителя

Ток подается на  $n$ - и  $p$ -ветви, которые соединены последовательно металлической перемычкой. Электроны и дырки движутся сверху вниз, унося с собой тепло из перемычки через переходы металл/полупроводник.

Каким образом следует обсуждать работу ТЭ устройства в терминах только электронных потоков, а не потоков электронов и «дырок», как это проводилось до сих пор. «Дырки» являются, в лучшем случае, концептуальным понятием, а измеряемые на практике эффекты вызваны движением электронов и не могут зависеть от субъективных, хотя и очень удобных, договоренностей. Не говоря уже о том, что вся развитая в [1, 2] транспортная модель ЛДЛ выписана для электронов, хотя и было показано как трансформировать ее для «дырок».

Электронные потоки в ТЭ охладителе показаны на рис. 9.

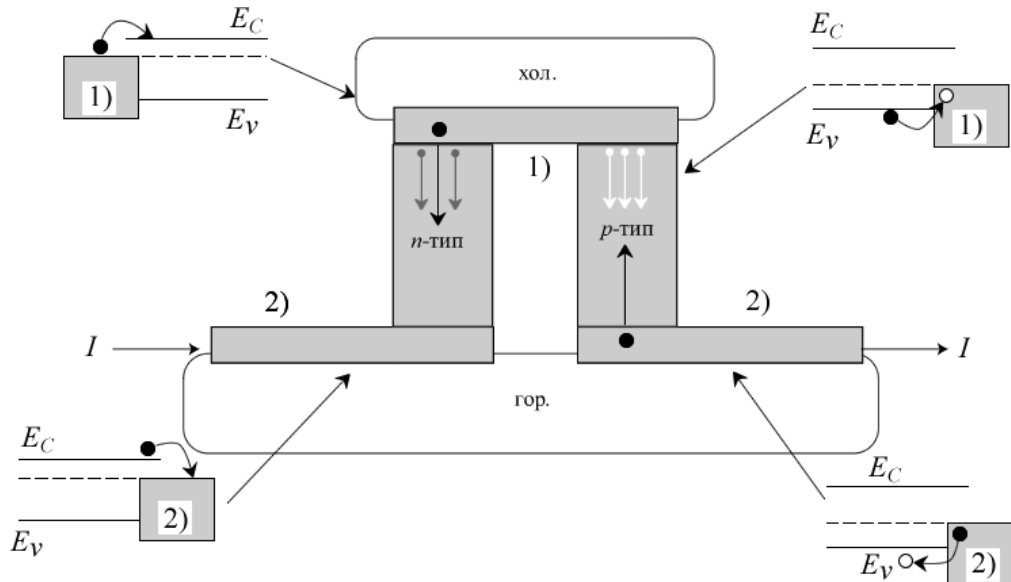


Рис. 9. Движение электронов в ТЭ охладителе (рис. 8) в  $n$ - и  $p$ -ветвях показано темными стрелками

По левой  $n$ -ветви электроны движутся сверху от охлаждаемой металлической перемычки вниз к нагреваемому контакту, через который ток подается в охладитель. В правой  $p$ -ветви электроны движутся снизу от правого контакта вверх к охлаждаемой металлической перемычке. Диаграммы зонной структуры иллюстрируют как именно нужно понимать эффект охлаждения по Пельтье через движение электронов. Например, наверху слева электрон, покидая металлическую перемычку чтобы перейти в зону проводимости  $n$ -полупроводника, поглощает тепло из перемычки. Наверху справа электрон движется вверх по валентной зоне  $p$ -полупроводника, поглощая при этом энергию, с тем, чтобы заполнить собой пустое состояние вблизи поверхности металлической перемычки. Внизу слева тепло, забранное электроном из металлической перемычки, выделяется в левый контакт при переходе в него электрона из зоны проводимости  $n$ -полупроводника. Внизу справа электрон при переходе из металлического контакта в  $p$ -полупроводник также выделяет тепло, понижая свою энергию чтобы заполнить пустое состояние в валентной зоне  $p$ -полупроводника. Эти переходы на границе  $n$ - и  $p$ -полупроводников с металлом можно обсуждать через потоки электронов, либо через потоки электронов и дырок, как это кому удобно.

Для конкретного устройства охлаждения надлежит ответить на следующие очевидные вопросы:

- 1) Какая максимальная разница температур может быть достигнута?
- 2) Какое количество тепла можно забрать?
- 3) Что является показателем эффективности охладителя Пельтье?

На рис. 10 показана схема ТЭ преобразователя энергии.

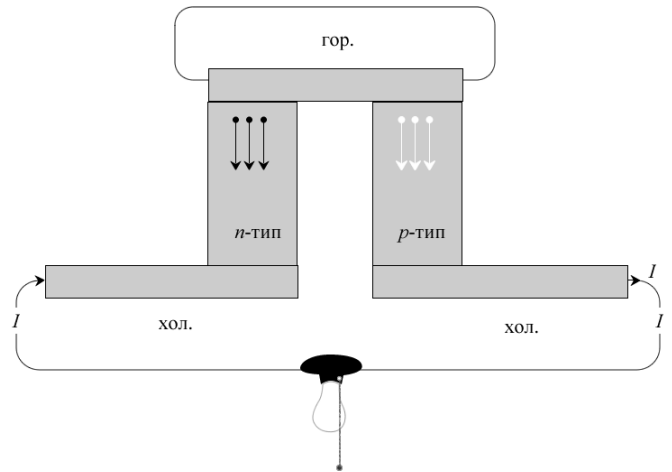


Рис. 10. Схема ТЭ преобразователя энергии

Принципиальное отличие от охладителя Пельтье (рис. 8) состоит лишь в том, что теперь тепло подается извне, а подложка охлаждается, в результате чего во внешней цепи (на рисунке с нагрузкой) возникает ток Зеебека. Направление движения носителей тока точно такое же, как и в охладителе Пельтье. Основной вопрос: что определяет эффективность конвертации тепла в электрический ток?

В обоих устройствах  $n$ - и  $p$ -ветви электрически соединены последовательно, а термически – параллельно. В реальных устройствах создается много таких термопар. Последовательное соединение ветвей увеличивает напряжение, что позволяет передать больший ток, а их термическая параллельность позволяет увеличить количество переносимого тепла.

Как оценить добротность ТЭ устройства покажем на примере охладителя Пельтье с одной  $n$ -ветвью (рис. 11).

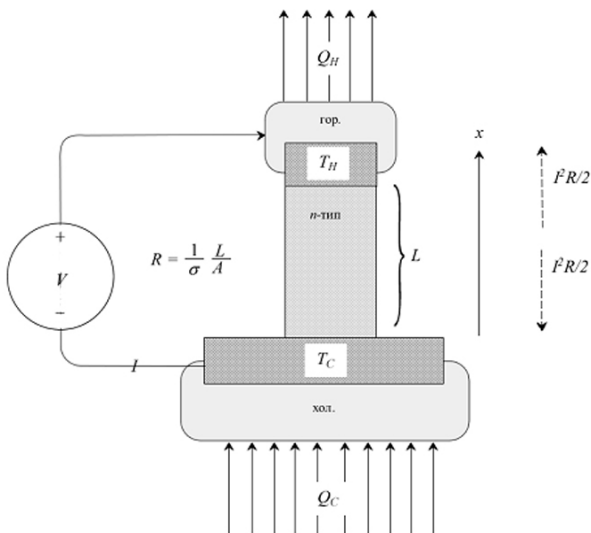


Рис. 11. Охладитель Пельтье с одной  $n$ -ветвью

Опираясь на ур-е (8) для удельного потока тепла баланс тепловых потоков такого охладителя Пельтье имеет вид:

$$Q_C = \pi \frac{I}{A} - \kappa \frac{\Delta T}{L} - \frac{I^2 R}{2A}, \quad (29)$$

где учтена половина джоулева тепла, противодействующая передаче тепла снизу вверх, а  $\Delta T = T_H - T_C$ . Максимальное количество передаваемого тепла  $Q_C^{\max}$  находится из условия  $dQ_C / dI = 0$ , учитывая которое сначала находим  $I^{\max}$ , а после подстановки его в (29) находим  $Q_C^{\max}$ . Для определения максимально достижимой разности температур  $\Delta T^{\max}$  положим  $Q_C^{\max} = 0$  и найдем, что

$$\Delta T^{\max} = \frac{1}{2} Z T_C^2, \quad (30)$$

где

$$Z = \frac{S^2 \sigma}{\kappa} [K^{-1}] \quad (31)$$

есть добротность ТЭ устройства (thermoelectric figure of merit) – важнейший показатель эффективности работы ТЭ устройства. Максимальная разность температур достигается при токе  $I^{\max}$  и  $Q_C^{\max} = 0$ .

Следующий вопрос заключается в определении эффективности охлаждения, определяемой коэффициентом полезного действия (кпд) устройства (coefficient of performance) как отношение закачанного тепла к затраченной электрической мощности:

$$\eta = \frac{Q_C}{P_{in}}. \quad (32)$$

Кпд можно посчитать двумя способами. Из условия  $d\eta / dI = 0$  сначала определяем ток, соответствующий максимальному кпд, а затем это значение тока подставляем в (32) и получаем максимально возможный кпд. По другому, можно воспользоваться

значением  $I^{\max}$ , обеспечивающему максимально возможную передачу тепла, и подставить его в (32) и таким образом найти кпд, соответствующий максимально возможному охлаждению [17–19]:

$$\eta = \frac{Q_C}{P_{in}} = f_P(T_H, T_C, Z). \quad (33)$$

КПД охладителя Пельтье дается функцией, зависящей от температуры холодной и горячей пластин и добротности ТЭ устройства. КПД определяется разностью температур и комбинацией термоэлектрических коэффициентов в том виде, как они входят в выражение для добротности (31): большая проводимость понижает потери джоулева тепла, больший коэффициент Зеебека увеличивает количество отобранного тепла, меньшая теплопроводность уменьшает возврат тепла от горячей пластины к охлаждаемой.

Аналогичные рассуждения можно провести для ТЭ преобразователя энергии (рис. 9). Опять, записывается тепловой баланс для горячей пластины: поток тепла, который мы хотим превратить в электрический ток, равен передаваемому теплу Пельтье плюс тепло, диффундирующее от горячей пластины к холодной, минус половина противодействующего джоулева тепла. Кпд ТЭ генератора энергии будет просто отношение полученной мощности к затраченной:

$$\eta = \frac{P_{out}}{P_{in}} = \frac{I^2 R_L}{A Q_{in}}, \quad (34)$$

где  $R_L$  – сопротивление нагрузки.

Ток определяется перепадом температур пластин. Максимально возможное значение КПД сводится к решению уравнения  $d\eta / dR_L = 0$ , которое дает оптимальное значение сопротивления нагрузки, после подстановки которого в (34) получаем искомым кпд. Как и в случае с охладителем Пельтье, кпд генератора энергии определяется добротностью ТЭ устройства  $Z$ .

И в случае охладителя и в случае генератора энергии КПД определяется добротностью ТЭ устройства, которая существенно определяется свойствами термиков. На практике контакты и интерфейсные соединения, как электрические, так и термические, так или иначе понижают КПД ТЭ устройства, и решающую роль играют свойства используемых термиков.

Осталось обсудить еще роль добротности ТЭ устройства в обеспечении эффективности его работы. Добротность обычно записывают в безразмерном виде:

$$ZT = \frac{S^2 \sigma T}{\kappa + \kappa_L}, \quad (35)$$

где  $\kappa_L$  – теплопроводность решетки проводника (фононы), к обсуждению которой мы вернемся в другом сообщении. Длительное время не удается выйти за пределы  $ZT \sim 1-2$ . Для самых разнообразных применений ТЭ устройств как для охлаждения, так и для нагревания и генерации тока крайне желательно дос-

тичь хотя бы  $ZT \sim 3$ . Это пока несбыточная мечта в физике термиков. Обсудим два таких вопроса:

- 1) какие свойства термика являются определяющими для значения  $ZT$ ?
- 2) Как оптимизировать  $ZT$  для выбранного термика?

Из выражения (15) следует, что коэффициент Зеебека определяется в основном разностью между фермиевской энергией и дном зоны проводимости. Параметр  $\delta$  в (15) зависит от особенностей зонной структуры и от особенностей физики рассеяния, но влияние его все-таки мало. Проводимость, согласно (23), определяется эффективным числом мод проводимости  $\langle M \rangle$  и усредненным значением средней длины свободного пробега  $\langle \lambda \rangle$ . Значение  $\langle M \rangle$  тем больше, чем выше энергия Ферми в зоне проводимости. Для больших  $\langle \lambda \rangle$  рассеяние должно быть слабым (большая подвижность). В знаменателе добротности (35) обычно  $\kappa_L \gg \kappa$ ; теплопроводность решетки в транспортной модели ЛДЛ учтем в другом сообщении.

Характер зависимости коэффициента Зеебека и электронной проводимости от положения уровня Ферми показано на рис. 12.

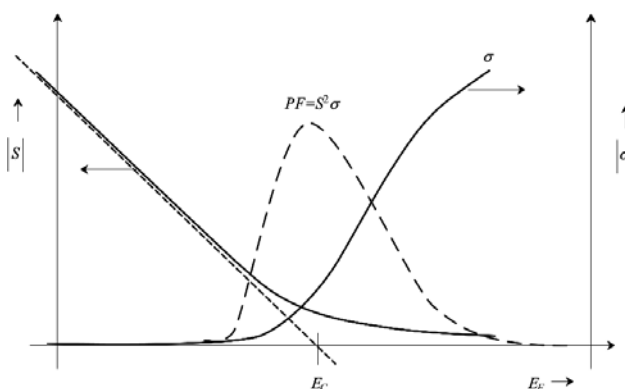


Рис. 12. Качественная зависимость коэффициента Зеебека (слева) и электронной проводимости (справа) от положения уровня Ферми относительно дна зоны проводимости. Показана также максимизация фактора мощности  $PF$  вблизи дна зоны проводимости

По мере того как уровень Ферми приближается к дну зоны проводимости снизу, а затем движется вверх по зоне проводимости, коэффициент Зеебека уменьшается. В то же время электронная проводимость растет за счет появления все большего числа мод проводимости. Их произведение называют фактором мощности  $PF$  (Power Factor), который максимален в районе дна зоны проводимости. Положение максимума для конкретного термика зависит от особенностей зонной структуры проводника и физики его рассеивающих центров. На практике стараются путем допирования полупроводника сместить уровень Ферми поближе к дну зоны проводимости.

Итак, на примере 3D резистора в диффузионном режиме мы обсудили физику эффектов Зеебека и Пельтье, качественно показали происхождение основных уравнений ТЭ, рассмотрели каким образом

четыре ТЭ параметра зависят от свойств термиков и как работают ТЭ охладитель и генератор, ввели понятия добротности и кпд ТЭ устройств.

Для количественного описания ТЭ эффектов в резисторах любой размерности и любого масштаба, работающих в баллистическом, диффузионном или квазibalлистическом режиме, потребуется строгий вывод соответствующих транспортных уравнений, чему будет посвящено следующее сообщение.

В основу настоящего обзора положены лекции Марка Лундстрема «Near-Equilibrium Transport: Fundamentals and Applications» [20] и Суприе Датты «Fundamentals of Nanoelectronics, Part I: Basic Concepts» [21], прочитанных в 2011–2012 годах в рамках инициативы Purdue University / nanoHUB-U [www.nanohub.org/u], а также статьи [22, 23].

### Благодарности

Автор благодарен Н. Е. Кругляк за помощь в работе при подготовке рукописи к печати.

### Литература

1. Кругляк, Ю. А. Обобщенная модель электронного транспорта Ландауэра-Датты-Лундстрема [Текст] / Ю. А. Кругляк // *Nanosystems, Nanomaterials, Nanotechnologies*. – 2013. – Т. 11, № 3. – С. 519–549. Erratum: *ibid.* – 2014. – Т. 12, № 2. – С. 415.
2. Кругляк, Ю. А. От баллистической проводимости к диффузионной в транспортной модели Ландауэра-Датты-Лундстрема [Текст] / Ю. А. Кругляк // *Nanosystems, Nanomaterials, Nanotechnologies*. – 2013. – Т. 11, № 4. – С. 655–677.
3. Ioffe, A. F. *Semiconductor Thermoelements and Thermoelectric Cooling* [Text] / A. F. Ioffe. – London: Infosearch, 1957. – 184 p.
4. Анатычук, Л. И. Термоэлементы и термоэлектрические устройства [Текст] / Л. И. Анатычук. – Киев: Наукова думка, 1979. – 385 с.
5. Анатычук, Л. И. Оптимальное управление свойствами термоэлектрических материалов и приборов [Текст] / Л. И. Анатычук, В. А. Семенюк. – Черновцы: Изд-во «Прут», 1992. – 264 с.
6. Анатычук, Л. И. Полупроводники в экстремальных температурных условиях [Текст] / Л. И. Анатычук, Л. П. Булат. – Ленинград: Наука, 2001. – 224 с.
7. Анатычук, Л. И. Термоэлектричество. Т. 2. Термоэлектрические преобразователи энергии [Текст] / Л. И. Анатычук. – Киев – Черновцы: Институт термоэлектричества, Тип. изд-ва "Букрек", 2003. – 376 с.
8. Анатычук, Л. И. Термоэлектричество. Т. 1. Физика термоэлектричества [Текст] / Л. И. Анатычук. – Киев – Черновцы: Институт термоэлектричества, Тип. изд-ва "Букрек", 2009. – 388 с.
9. Ашкрофт, Н. Физика твердого тела [Текст] / Н. Ашкрофт, Н. Мермин. – М: Мир, 1979. – 824 с.
10. Mahan, G. D. Wiedemann – Franz law at boundaries [Text] / G. D. Mahan, M. Bartkowiak // *Applied Physics Letters*. – 1999. – Vol. 74, Issue 7. – P. 953–954. doi: 10.1063/1.123420
11. Smith, A. C. *Electronic Conduction in Solids* [Text] / A. C. Smith, J. Janak, R. Adler. – New York: McGraw-Hill, 1965.
12. Onsager, L. Reciprocal Relations in Irreversible Processes. I. [Text] / L. Onsager // *Physical Review*. – 1931. – Vol. 37, Issue 4. – P. 405–426. doi: 10.1103/physrev.37.405
13. Институт термоэлектричества НАНУ/МОН Украины [Электронный ресурс] / Режим доступа:



www.inst.cv.ua

14. Majumdar, A. Thermoelectricity in semiconductor nanostructures [Text] / A. Majumdar // Science. – 2004. – Vol. 303, Issue 5659. – P. 778–779. doi: 10.1126/science.1093164

15. Dresselhaus, M. New directions for low dimensional thermoelectric materials [Text] / M. Dresselhaus, G. Chen, M. Tang, R. Yang, H. Lee, D. Wang, Z. Ren, J.-P. Fleureal, P. Gogna // Advanced Materials. – 2007. – Vol. 19, Issue 8. – P. 1043–1053. doi: 10.1002/adma.200600527

16. Minnich, A. J. Bulk nanostructured thermoelectric materials: current research and future prospects [Text] / A. J. Minnich, M. S. Dresselhaus, Z. F. Ren, G. Chen // Energy and Environmental Science. – 2009. – Vol. 2, Issue 5. – P. 466–479. doi: 10.1039/b822664b

17. Hode, M. On one-Dimensional Analysis of Thermoelectric Modules (TEMs) [Text] / M. Hode // IEEE Transactions on Components and Packaging Technologies. – 2005. – Vol. 28, Issue 2. – P. 218–229. doi: 10.1109/tcapt.2005.848532

18. Hode, M. Optimal Pellet Geometries for Thermoelectric Refrigeration [Text] / M. Hode // IEEE Transactions on Components and Packaging Technologies. – 2007. – Vol. 30, Issue 1. – P. 50–58. doi: 10.1109/tcapt.2007.892068

19. Hode, M. Optimal Pellet Geometries for Thermoelectric Power Generation [Text] / M. Hode // IEEE Transactions on Components and Packaging Technologies. – 2010. – Vol. 33, Issue 2. – P. 307–318. doi: 10.1109/tcapt.2009.2039934

20. Lundstrom, M. Near-Equilibrium Transport: Fundamentals and Applications [Electronic resource] / M. Lundstrom, C. Jeong. – Hackensack, New Jersey: World Scientific Publishing Company, 2013. – Available at: [www.nanohub.org/resources/11763](http://www.nanohub.org/resources/11763)

21. Datta, S. Lessons from Nanoelectronics: A New Perspective on Transport [Electronic resource] / S. Datta. – Hackensack, New Jersey: World Scientific Publishing Company, 2012. – Available at: [www.nanohub.org/courses/FoN1](http://www.nanohub.org/courses/FoN1)

22. Кругляк, Ю. О. Термоелектричні явища в концепції «знизу – вгору» [Текст] / Ю. О. Кругляк, Н. Ю. Кругляк, М. В. Стріха // Sensor Electronics Microsys. Tech. – 2013. – Т. 13, № 1. – С. 6–21.

23. Кругляк, Ю. А. Уроки наноелектроніки. 4. Термоелектрические явления в концепции «снизу – вверх» [Текст] / Ю. А. Кругляк // Физическое образование в вузах. – 2013. – Т. 19, № 4. – С. 70–85.

## References

1. Kruglyak, Yu. A. (2013). The Generalized Landauer-Datta-Lunstrom Electron Transport Model. Nanosystems, Nanomaterials, Nanotechnologies, 11 (3), 519–549.

2. Kruglyak, Yu. A. (2013). From Ballistic Conductivity to Diffusional in the Landauer-Datta-Lunstrom Transport Model. Nanosystems, Nanomaterials, Nanotechnologies, 11 (4), 655–677.

3. Ioffe, A. F. (1957). Semiconductor Thermoelements and Thermoelectric Cooling. London: Infosearch, 184.

4. Anatyshuk, L. I. (1979). Thermoelements and thermoelectric devices. Kiev: Naukova Dumka, 385.

5. Anatyshuk, L. I., Semenyuk, V. A. (1992). Optimal control of properties of thermoelectric materials and devices. Chernovtsy: «Prut», 264.

6. Anatyshuk, L. I., Bulat, L. P. (2001). Semiconductors in extremal temperature conditions. Leningrad: Nauka, 224.

7. Anatyshuk, L. I. (2003). Thermoelectricity. Vol. 2. Thermoelectrical Energy Converters. Kiev – Chernovtsy: Institute of Thermoelectricity, "Bukrek", 376.

8. Anatyshuk, L. I. (2009). Thermoelectricity. Vol. 1. Physics of Thermoelectricity. Kiev – Chernovtsy: Institute of Thermoelectricity, "Bukrek", 388.

9. Ashcroft, N. W., Mermin, N. D. (1979). Solid State Physics (Philadelphia: Saunders College, 824.

10. Mahan, G. D., Bartkowiak, M. (1999). Wiedemann – Franz law at boundaries, Applied Physics Letters, 74 (7), 953–954. doi: 10.1063/1.123420

11. Smith, A. C., Janak, J., Adler, R. (1965). Electronic Conduction in Solids. New York: McGraw-Hill.

12. Onsager, L. (1931). Reciprocal Relations in Irreversible Processes. I. Physical Review, 37 (4), 405–426 doi: 10.1103/physrev.37.405

13. Institute of Thermoelectricity, NASU/MEU. Available at: [www.inst.cv.ua](http://www.inst.cv.ua)

14. Majumdar, A. (2004). Thermoelectricity in semiconductor nanostructures. Science, 303 (5659), 778–779 doi: 10.1126/science.1093164

15. Dresselhaus, M., Chen, G., Tang, M., Yang, R., Lee, H., Wang, D., Ren, Z., Fleureal, J.-P., Gogna, P. (2007). New directions for low dimensional thermoelectric materials. Advanced Materials, 19 (8), 1043–1053. doi: 10.1002/adma.200600527

16. Minnich, A. J., Dresselhaus, M. S., Ren, Z. F., Chen, G. (2009). Bulk nanostructured thermoelectric materials: current research and future prospects. Energy and Environmental Science, 2, 466–479. doi: 10.1039/b822664b

17. Hode, M. (2005). On one-Dimensional Analysis of Thermoelectric Modules (TEMs). IEEE Transactions on Components and Packaging Technologies, 28 (2), 218–229. doi: 10.1109/tcapt.2005.848532

18. Hode, M. (2007). Optimal Pellet Geometries for Thermoelectric Refrigeration. IEEE Transactions on Components and Packaging Technologies, 30 (1), 50–58. doi: 10.1109/tcapt.2007.892068

19. Hode, M. (2010). Optimal Pellet Geometries for Thermoelectric Power Generation. IEEE Transactions on Components and Packaging Technologies, 33 (2), 307–318. doi: 10.1109/tcapt.2009.2039934

20. Lundstrom, M., Jeong, C. (2013). Near-Equilibrium Transport: Fundamentals and Applications. Hackensack, New Jersey: World Scientific Publishing Company. Available at: [www.nanohub.org/resources/11763](http://www.nanohub.org/resources/11763)

21. Datta, S. (2012). Lessons from Nanoelectronics: A New Perspective on Transport. Hackensack, New Jersey: World Scientific Publishing Company. Available at: [www.nanohub.org/courses/FoN1](http://www.nanohub.org/courses/FoN1)

22. Kruglyak, Yu. O., Kruglyak, N. Yu., Strikha, M. V. (2013). Thermoelectric phenomena by «bottom – up» approach, Sensor Electronics Microsys. Tech., 13 (1), 6–21.

24. Kruglyak, Yu. O. (2013). Lessons of nanoelectronics. 4. Thermoelectric phenomena by «bottom – up» approach. Physics in Higher Education, 19 (4), 70–85.

*Рекомендовано до публікації д-р фіз.-мат. наук Глушков О. В.*

*Дата надходження рукопису 15.12.2014*

**Кругляк Юрій Олександрович**, доктор хімічних наук, професор, кафедра інформаційних технологій, Одеський державний екологічний університет, вул. Львівська, 15, м. Одеса, Україна, 65016  
E-mail: [quantumnet@yandex.ua](mailto:quantumnet@yandex.ua)